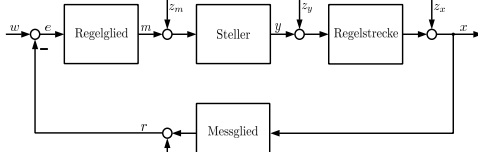


## 1. Grundbegriffe

### 1.1 Aufbau einer Regelung (Blockschaltbild)



Führungsgröße:  $w$  (Sollwert) | Regelgröße  $x$  (Istwert) | Regelabweichung  $e$  (Abweichung) | Rückführgröße  $r$  | Regelausgangsgröße  $m$  | Stellgröße  $y$  | Störgrößen  $z$

## 2. Beschreibung linear dynamischer Systeme

### 2.1 Linearisierung nichtlinearer Systeme

$$x_e \approx A(P) + \frac{\delta f}{\delta x_{1P}} (x_{1e} - \bar{x}_{1e}) + \frac{\delta f}{\delta x_{2P}} (x_{2e} - \bar{x}_{2e}) + \dots + \frac{\delta f}{\delta x_{nP}} (x_{ne} - \bar{x}_{ne})$$

$$\Delta x_0 = \alpha_1 \Delta x_{e1} + \alpha_2 \Delta x_{e2} + \dots + \alpha_n \Delta x_{en}$$

### 3. Eigenschaften Übertragungsglieder im Zeitbereich

#### 3.1 Dynamisches Übertragungsglieder im Zeitbereich

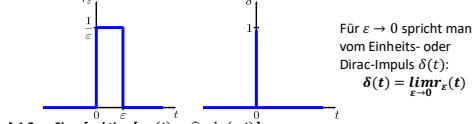
**3.1.1 Einheitssprung** [ $x_e(t) = \hat{x}_e \sigma(t)$ ;  $G(s) = \frac{1}{s}$ ]

$$\sigma(t) = \begin{cases} 0 & \text{für } t < 0 \\ 1 & \text{für } t \geq 0 \end{cases}; h(t) = \frac{x_e(t)}{\hat{x}_e} = \text{Sprungantwort}; G(s) = \frac{1}{s} = \frac{x_a(s)}{x_e(s)}$$

**3.1.2 Dirac-Impuls** [ $\delta(t) = \lim_{\epsilon \rightarrow 0} r_e(t)$ ;  $G(s) = 1$ ]

Rechteckimpuls mit einmaliger Stoßartiger Anregung durch die Eingangsgröße

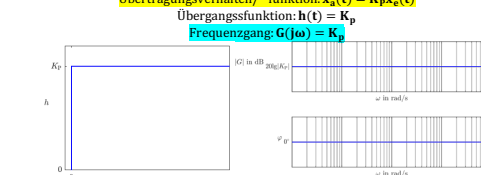
$$r_e(t) = r_e(t), r_e(t) = \frac{1}{\epsilon} \text{ für } 0 \leq t \leq \epsilon; r_e(t) = 0, \text{ sonst}$$



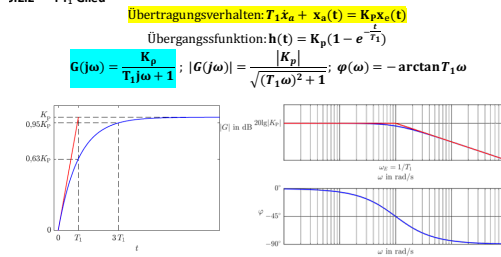
#### 3.1.3 Sinusfunktion [ $x_e(t) = \hat{x}_e \sin(\omega t)$ ]

#### 3.2 Proportionalglieder

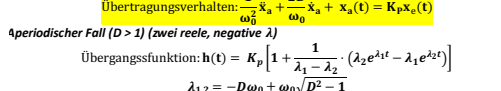
##### 3.2.1 P-Glied



##### 3.2.2 PT<sub>1</sub>-Glied



##### 3.2.3 PT<sub>2</sub>-Glied

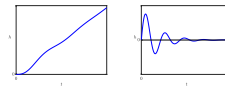


##### Aperiodischer Grenzfall ( $D = 1$ ) (zwei gleiche, negative $\lambda$ )

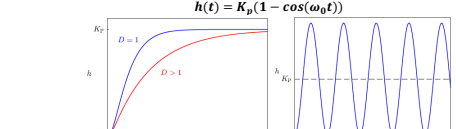
$$\text{Übergangsfunktion: } h(t) = K_p [1 - (1 + \omega_0 t) e^{-\omega_0 t}]$$

Aperiodischer Fall und Aperiodischer Grenzfall ( $D \geq 1$ ) können auch als Reihenschaltung von zwei PT<sub>1</sub>-Gliedern betrachtet werden:

$$T_1 \dot{T}_2 \ddot{x}_a + (T_1 + T_2) \dot{x}_a + x_a(t) = K_p x_e(t)$$



### Ungedämpfter Fall ( $D = 0$ ) (rein imaginäres Wurzelpaar)



### Periodischer Fall ( $0 < D < 1$ ) (zwei konjugiert komplexe Eigenwerte)

$$\lambda_{1,2} = -D \omega_0 \pm j \omega_0 \sqrt{1 - D^2}; \omega_d = \omega_0 \sqrt{1 - D^2}$$

$\omega_0$ : Eigenkreisfrequenz der ungedämpften Schwingung  
 $D$ : Dämpfungsgrad

$\omega_d$ : Eigenkreisfrequenz der gedämpften Schwingung

$$h(t) = K_p \left[ 1 - \frac{e^{-\omega_0 t}}{\sqrt{1-D^2}} \sin(\omega_d t + \varphi) \right]; \varphi = \arccos(D)$$

Die Periodendauer der Schwingung beträgt:  $T_d = \frac{2\pi}{\omega_d} = \frac{2\pi}{\omega_0 \sqrt{1-D^2}}$

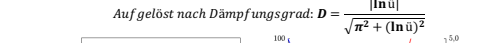
Die Gleichungen der Hüllkurven lauten:  $HK^{\pm} = K_p \left( 1 \pm \frac{1}{\sqrt{1-D^2}} \right) \pi$

$$\text{Überschwingzeit: } t_{\max} = \frac{\pi}{\omega_d} = \frac{\pi}{\omega_0 \sqrt{1-D^2}}$$

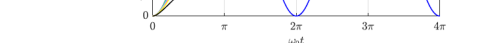
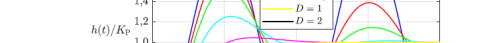
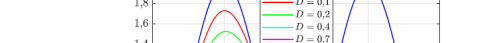
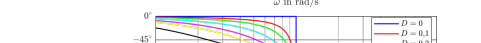
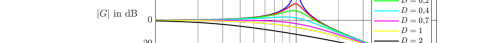
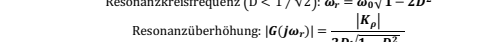
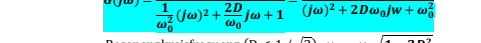
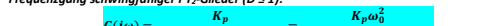
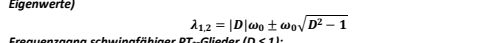
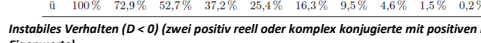
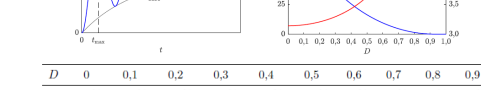
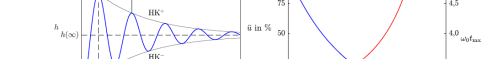
$$\text{max(Übergangsfunktion): } h_{\max} = h(t_{\max}) = K_p \left( 1 + e^{-\frac{\pi D}{\omega_0}} \right)$$

$$\text{Überschwingweite: } \bar{u} = \frac{h_{\max} - h_{\min}}{h_{\infty}} = e^{-\frac{\pi D}{\omega_0}}$$

$$\text{Auf gelöst nach Dämpfungsgrad: } D = \frac{|\ln \bar{u}|}{\sqrt{\pi^2 + (\ln \bar{u})^2}}$$



$$D = 0, 0.1, 0.2, 0.3, 0.4, 0.5, 0.6, 0.7, 0.8, 0.9$$



### 3.3 Integrierglieder

#### 3.3.1 I-Glied

Übertragungsverhalten:  $x_a(t) = K_1 \int x_e(t) dt$

Übertragungsfunktion:  $h(t) = K_1 \int_0^t x_e(\tau) d\tau = K_1 t$

Frequenzgang:  $G(j\omega) = \frac{K_1}{j\omega} = -\frac{K_1}{\omega}$

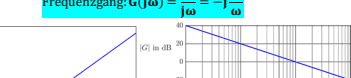


Bild 3.7: Bode-Diagramm eines I-Glieds

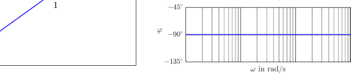


Bild 3.8: Bode-Diagramm eines I<sub>T</sub>-Glieds

Übertragungsverhalten:  $T_1 \dot{x}_a + x_a(t) = K_1 \int x_e(t) dt$

Übergangsfunktion:  $h(t) = K_1 (T_1 - t) e^{-\frac{t}{T_1}}$

Frequenzgang:  $G(j\omega) = \frac{K_1}{T_1 j\omega + 1} = \frac{K_1}{j\omega T_1 + 1}$

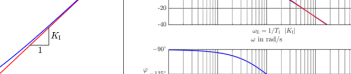
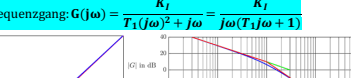


Bild 3.8: Bode-Diagramm eines IT<sub>T</sub>-Glieds

#### 3.4 Differenzierglieder

##### 3.4.1 D-Glied

Übertragungsverhalten:  $x_a(t) = K_D \dot{x}_e(t)$

Übergangsfunktion:  $h(t) = K_D \delta(t)$

Frequenzgang:  $G(j\omega) = K_D j\omega$

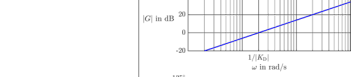


Bild 3.9: Bode-Diagramm eines D-Glieds

Übertragungsverhalten:  $T_1 \dot{x}_a + x_a(t) = K_D \dot{x}_e(t)$

Übergangsfunktion:  $h(t) = \frac{K_D}{T_1} e^{-\frac{t}{T_1}}$

Frequenzgang:  $G(j\omega) = \frac{K_D}{T_1 j\omega + 1}$

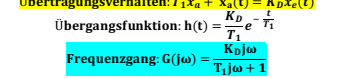


Bild 3.10: Bode-Diagramm eines DT<sub>T</sub>-Glieds

#### 3.5 Totzeitsystem (schlecht für Regelung -> wird langsam)

Übertragungsverhalten:  $x_a(t) = \begin{cases} 0 & \text{für } t < T_t \\ K_p x_e(t - T_t) & \text{für } t \geq T_t \end{cases}$

Frequenzgang:  $G(j\omega) = K_p e^{-j\omega T_t}$

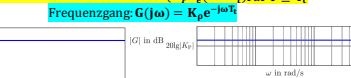


Bild 3.11: Bode-Diagramm eines DT<sub>T</sub>-Glieds

### 4. Beschreibung linear dynamischer Systeme im Frequenzbereich

#### 4.1 Frequenzgang

$$x_a, x_e$$

$$\hat{x}_a, \hat{x}_e$$

$$\ddot{x}_a, \ddot{x}_e$$

$$\dddot{x}_a, \dddot{x}_e$$

$$\ddot{\ddot{x}}_a, \ddot{\ddot{x}}_e$$

$$\ddot{\ddot{\ddot{x}}}_a, \ddot{\ddot{\ddot{x}}}_e$$

$$\ddot{\ddot{\ddot{\ddot{x}}}}_a, \ddot{\ddot{\ddot{\ddot{x}}}}_e$$

$$\ddot{\ddot{\ddot{\ddot{\ddot{x}}}}}_a, \ddot{\ddot{\ddot{\ddot{\ddot{x}}}}}_e$$

$$\ddot{\ddot{\ddot{\ddot{\ddot{\ddot{x}}}}}}_a, \ddot{\ddot{\ddot{\ddot{\ddot{\ddot{x}}}}}}_e$$

$$\ddot{\ddot{\ddot{\ddot{\ddot{\ddot{\ddot{x}}}}}}}_a, \ddot{\ddot{\ddot{\ddot{\ddot{\ddot{\ddot{x}}}}}}}_e$$

$$\ddot{\ddot{\ddot{\ddot{\ddot{\ddot{\ddot{\ddot{x}}}}}}}}_a, \ddot{\ddot{\ddot{\ddot{\ddot{\ddot{\ddot{\ddot{x}}}}}}}}_e$$

$$\ddot{\ddot{\ddot{\ddot{\ddot{\ddot{\ddot{\ddot{\ddot{x}}}}}}}}}_a, \ddot{\ddot{\ddot{\ddot{\ddot{\ddot{\ddot{\ddot{\ddot{x}}}}}}}}}_e$$

$$\ddot{\ddot{\ddot{\ddot{\ddot{\ddot{\ddot{\ddot{\ddot{\ddot{x}}}}}}}}}}_a, \ddot{\ddot{\ddot{\ddot{\ddot{\ddot{\ddot{\ddot{\ddot{x}}}}}}}}}_e$$

$$\ddot{\ddot{\ddot{\ddot{\ddot{\ddot{\ddot{\ddot{\ddot{x}}}}}}}}}_a, \ddot{\ddot{\ddot{\ddot{\ddot{\ddot{\ddot{\ddot{x}}}}}}}}_e$$

$$\ddot{\ddot{\ddot{\ddot{\ddot{\ddot{\ddot{\ddot{\ddot{x}}}}}}}}}_a, \ddot{\ddot{\ddot{\ddot{\ddot{\ddot{\ddot{\ddot{x}}}}}}}}_e$$

$$\ddot{\ddot{\ddot{\ddot{\ddot{\ddot{\ddot{\ddot{\ddot{x}}}}}}}}}_a, \ddot{\ddot{\ddot{\ddot{\ddot{\ddot{\ddot{\ddot{x}}}}}}}}_e$$

$$\ddot{\ddot{\ddot{\ddot{\ddot{\ddot{\ddot{\ddot{\ddot{x}}}}}}}}}_a, \ddot{\ddot{\ddot{\ddot{\ddot{\ddot{\ddot{\ddot{x}}}}}}}}_e$$

$$\ddot{\ddot{\ddot{\ddot{\ddot{\ddot{\ddot{\ddot{\ddot{x}}}}}}}}}_a, \ddot{\ddot{\ddot{\ddot{\ddot{\ddot{\ddot{\ddot{x}}}}}}}}_e$$

$$\ddot{\ddot{\ddot{\ddot{\ddot{\ddot{\ddot{\ddot{\ddot{x}}}}}}}}}_a, \dd$$

